

**А.И. Кривошапкин<sup>1, 2</sup>, Б. Виола<sup>3</sup>, Т. Чаргынов<sup>4</sup>,  
М. Крайцаж<sup>5</sup>, К.А. Колобова<sup>1, 2</sup>, С.В. Шнайдер<sup>1, 2</sup>**

<sup>1</sup>Институт археологии и этнографии СО РАН

<sup>2</sup>Новосибирский государственный университет

<sup>3</sup>Университет Торонто, Канада

<sup>4</sup>Кыргызский национальный университет

<sup>5</sup>Институт геологических наук, Исследовательский центр, Польша

E-mail: krivoshapkin@mail.ru

## **Исследования палеолитических комплексов пещеры Сельунгур в 2017 году**

*В полевом сезоне 2017 г. продолжились исследования пещеры Сельунгур – ключевого памятника нижнего и среднего палеолита западной части Центральной Азии. В результате работ 2014–2016 гг. на основе каменных комплексов слоев 4–6 предвходовой части пещеры был выделен новый индустриальный вариант среднего палеолита Центральной Азии с относительно ранней хронологией. Данная индустрия в технологическом и типологическом отношении значительно отличается от других среднепалеолитических комплексов региона. На новом этапе исследований раскопки в предвходовой зоне были продолжены, в результате чего были получены новые материалы, по своим технико-типологическим параметрам схожие с описанным среднепалеолитическим комплексом, однако имеющие более древний хронологический контекст.*

Ключевые слова: *средний палеолит, Центральная Азия, хронология, стратиграфия.*

**A.I. Krivoshapkin<sup>1, 2</sup>, B. Viola<sup>3</sup>, T. Charynov<sup>4</sup>,  
M. Krajcarz<sup>5</sup>, K.A. Kolobova<sup>1, 2</sup>, S.V. Shnaider<sup>1, 2</sup>**

<sup>1</sup>Institute of Archaeology and Ethnography SB RAS

<sup>2</sup>Novosibirsk State University

<sup>3</sup>University of Toronto, Canada

<sup>4</sup>Kyrgyzstan National University

<sup>5</sup>Institute of Geological Sciences, Research Centre, Poland

E-mail: krivoshapkin@mail.ru

## **Research of Paleolithic Complexes in Sel-Ungur Cave in 2017**

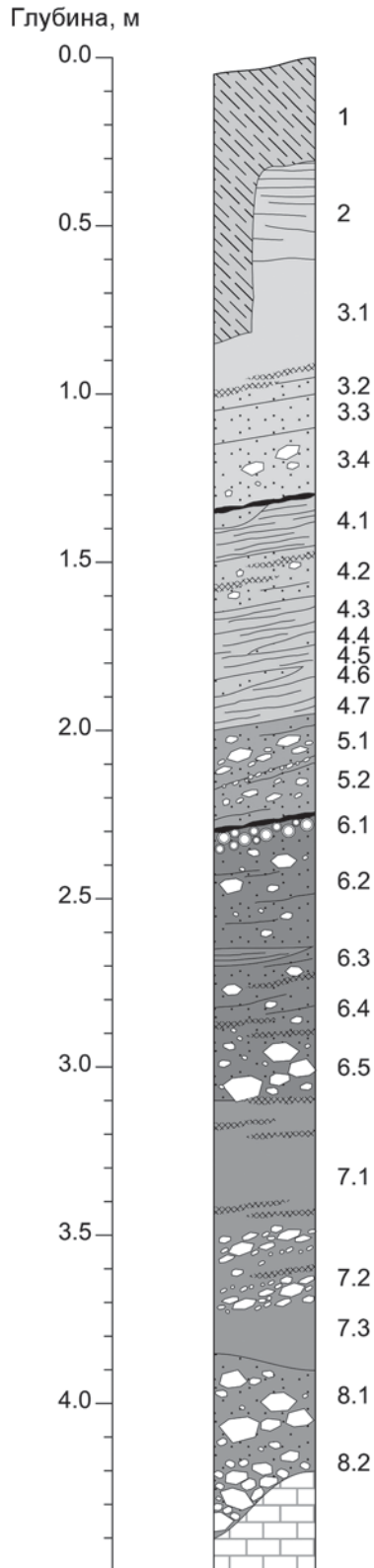
*Field research in Sel-Ungur Cave, a key site for the study of the Lower and Middle Paleolithic in the western part of the Central Asia, was continued in 2017. Archaeological works at the site in 2014–2016 resulted in identification of a new industrial variant of the Central Asian Middle Paleolithic with a relatively early chronology, based on lithic complexes from layers 4–6 in the area before the entrance to the cave. This industry technologically and typologically differs from other Middle Paleolithic complexes of the region. At a new phase of research, excavations in the entrance zone were continued, which resulted in obtaining new assemblages, technologically and typologically similar to the Middle Paleolithic complexes mentioned above, but with the earlier chronological context.*

Keywords: *Middle Paleolithic, Central Asia, chronology, stratigraphy.*

В результате интенсивных исследований культурных отложений пещеры Сельунгур, проведенных экспедицией Института археологии АН РУз под руководством д-ра ист. наук У.И. Исламова в 1980-х гг., данный памятник, расположенный в Ферганской долине Республики Кыргыз-

стан, в течение долгих лет считался ключевым раннепалеолитическим объектом Центральной Азии. Учитывая крайнюю недостаточность опубликованных данных, касающихся как условий залегания каменного материала, так и технико-типологических характеристик комплексов пеще-

ры Сельунгур, а также затруднения, связанные с возможностью повторного изучения полученных в 80-е гг. XX в. археологических коллекций [Viola, Krivoschapkin, 2014], в 2014 г. археологические работы на памятнике были возобновлены и продолжают до настоящего времени.



Предварительные результаты нового этапа изучения культурных отложений пещеры Сельунгур показали, что данный объект содержит преимущественно среднепалеолитический материал. В результате исследований 2014–2016 гг. на основе каменных комплексов слоев 4–6 из предвходовой части пещеры был выделен новый индустриальный вариант среднего палеолита Центральной Азии с относительно ранней хронологией. Данная индустрия характеризуется следующими технологическими и типологическими параметрами: 1) доминированием плоскостных нуклеусов, направленных на получение укороченных снятий в параллельном, радиальном и ортогональном направлениях, с соответствующим набором технических сколов; 2) ориентацией на получение коротких массивных отщепов с крупными ударными площадками; 3) наличием бифасов, выполненных в плоско-выпуклой манере, и сколов их оформления; 4) наличием уникальных для региона орудийных типов (остриев типа тейяк, мустьерских стамесок, скребел сельунгурского типа). Перечисленные характеристики заметно отличают индустрии Сельунгура от остальных среднепалеолитических технокомплексов западной части Центральной Азии.

В 2017 г. работы на предвходовой площадке пещеры были продолжены. Общая площадь раскопа составляла от 6 до 2 м<sup>2</sup> сверху вниз по разрезу. Описание стратиграфии разреза стоянки представлено сверху вниз (рис. 1).

Слой 1 состоит из нескольких прослоев светло-серой рыхлой породы с обломками известняка и тонкими прослойками гуано. В слое встречаются фрагменты керамики и угля, нижняя граница резкая, эрозионная. Отложения являются культурными, антропогенными. Истинная мощность – до 0,85 м.

Слой 2 делится на два прослоя. Верхний прослой состоит из желтоватых слоистых осадочных отложений, нижний – из желтоватого лессовидного осадка без обломочного материала. Нижняя граница слоя горизонтальная, отложения могут рассматриваться как лесс. Истинная мощность – до 0,6 м.

Слой 3 представлен желтоватыми осадочными отложениями с мелкими обломками известняка из более древних отложений. Нижняя граница слоя резкая, присутствуют тоненькие марганцевые прослоя. Образование слоя связано с солифлюкционной деятельностью. Истинная мощность – до 0,35 м.

Рис. 1. Поперечный стратиграфический разрез отложений пещеры Сельунгур.

Слой 4 представлен желтоватыми отложениями, состоящими из коллювиальной серии прослоев переменной литологии. Истинная мощность слоя – до 0,65 м.

Прослой 4.1 – слоистые отложения, состоящие из желтоватых суглинков с градуированной слоистостью. Прослой состоит из лессовых отложений, которые промывались на склоне талой/дождевой водой. Истинная мощность – до 0,1 м.

Прослой 4.2 – бесструктурные отложения коллювиального генезиса с множеством мелких обломков известняка и редкими костями. Истинная мощность – до 0,15 м.

Прослой 4.3 – осадочные отложения, состоящие из желтоватых глинистых прослоев (слойков) с градуированной слоистостью. Отложения лессовые, промывались на склоне талой/дождевой водой. Истинная мощность – до 0,1 м.

Прослой 4.4 – бесструктурные отложения коллювиального генезиса с множеством мелких обломков известняка и редкими костями. Прослой образовался вследствие коллювиальной деятельности. Истинная мощность – до 0,02 м.

Прослой 4.5 – слоистые отложения, состоящие из желтоватых глинистых слойков с градуированной слоистостью. Отложения лессовые, промывались на склоне талой/дождевой водой. Истинная мощность – до 0,08 м.

Прослой 4.6 – бесструктурные отложения коллювиального генезиса с множеством мелких обломков известняка и редкими костями плоскостной структуры. Истинная мощность – до 0,05 м.

Прослой 4.7 – осадочные отложения, состоящие из желтоватых глинистых слойков с градуированной слоистостью. Отложения лессовые, промывались на склоне талой/дождевой водой. Истинная мощность – до 0,15 м.

Слой 5 (прослой 5.1 и 5.2) – желтоватый суглинок с многочисленными мелко- и среднезернистыми обломками известняка, костями и каменными артефактами. Образование слоя связано с массовыми движениями коллювиальных осадков. Истинная мощность – до 0,3 м [Кривошапкин и др., 2016].

Слой 6 – коричневатый средний суглинок с редкими обломками известняка, с незначительным уклоном по плоскости, содержащий кости и копролиты, особенно частые в верхней части отложений, сложенной текущими потоками. Верхняя часть отложений слоя незначительно горизонтально ламинирована. Нижняя часть отложений слоя состоит из глин, отложившихся в условиях временных мелких водоемов (наиболее крупный прослой этого типа – 6.3), перекрывающих прослой из обломков известняка со случайными структурно-текстурными элементами. Последний прослой 6.5 располагается *in situ*.

Слой 7 – лессовидные массивные суглинки с многочисленными включениями карбонатных прослоев без обломков известняка, с фрагментами костей, перекрывающие известняковый щебень (прослой 7.2).

Слой 8 состоит из угловатых обломков известняка с незначительным уклоном по плоскости, находящихся в заполнении легкого суглинка.

В ходе раскопок в нижней части разреза (слои 7, 8) были обнаружены немногочисленные, однако яркие комплексы каменных артефактов (слой 7.1 – 2 экз.; слой 7.2 – 4 экз.; слой 7.3 – 12 экз.; слой 8 – 55 экз.). Палеонтологический материал трудноопределим в силу плохой сохранности. Несмотря на разное в количественном отношении наполнение слоев археологическим материалом, его можно рассматривать в совокупности благодаря схожим технико-типологическим характеристикам.

Большую часть коллекции составляют отходы производства – осколки/обломки (39,72 %) и чешуйки (30,12 %). Отщепы составляют 20,54 % всей коллекции (рис. 2, 1, 8). Технические сколы – 9,5 %, они представлены различными вариантами краевых сколов, характеризующихся крутолateralным поперечным сечением, краевыми сколами с радиальных нуклеусов (рис. 2, 4, 6) и одним сколом утончения бифаса (рис. 2, 5). Нуклеусов, пренуклеусов либо фрагментов апробированного сырья обнаружено не было.

В комплексе представлены сколы разнообразных форм. В большинстве случаев типологически определяемые сколы имеют гладкую ударную площадку без подработки, в нескольких случаях отмечено снятие карниза. Размеры остаточных ударных площадок варьируют от  $14,5 \times 3,51$  до  $50,8 \times 14,2$  мм. Среди огранок дорсальных поверхностей доминируют радиальные и ортогональные. Около половины сколов несут на дорсальных плоскостях участки кортикальной поверхности. Сколы с совпадающими технологической осью и осью длины и сколы, у которых эти оси не совпадают, распределяются в равных пропорциях. Зафиксированы разнообразные типы поперечных сечений, среди которых доминируют треугольные и латерально-крутые. Среди дистальных окончаний сколов фиксируются перьевидные, занывающие и тупые.

Орудийный набор насчитывает 5 экз.: три отщепа с ретушью (рис. 2, 2), диагональное скребло (рис. 2, 9) и скребло сельунгурского типа с дорсальной ретушью в дистальной части орудия на массивном укороченном отщепе с крупной ударной площадкой (рис. 2, 7).

В целом, описываемая индустрия имеет явную направленность на производство укороченных отщепов, часто с крупными ударными площадками.

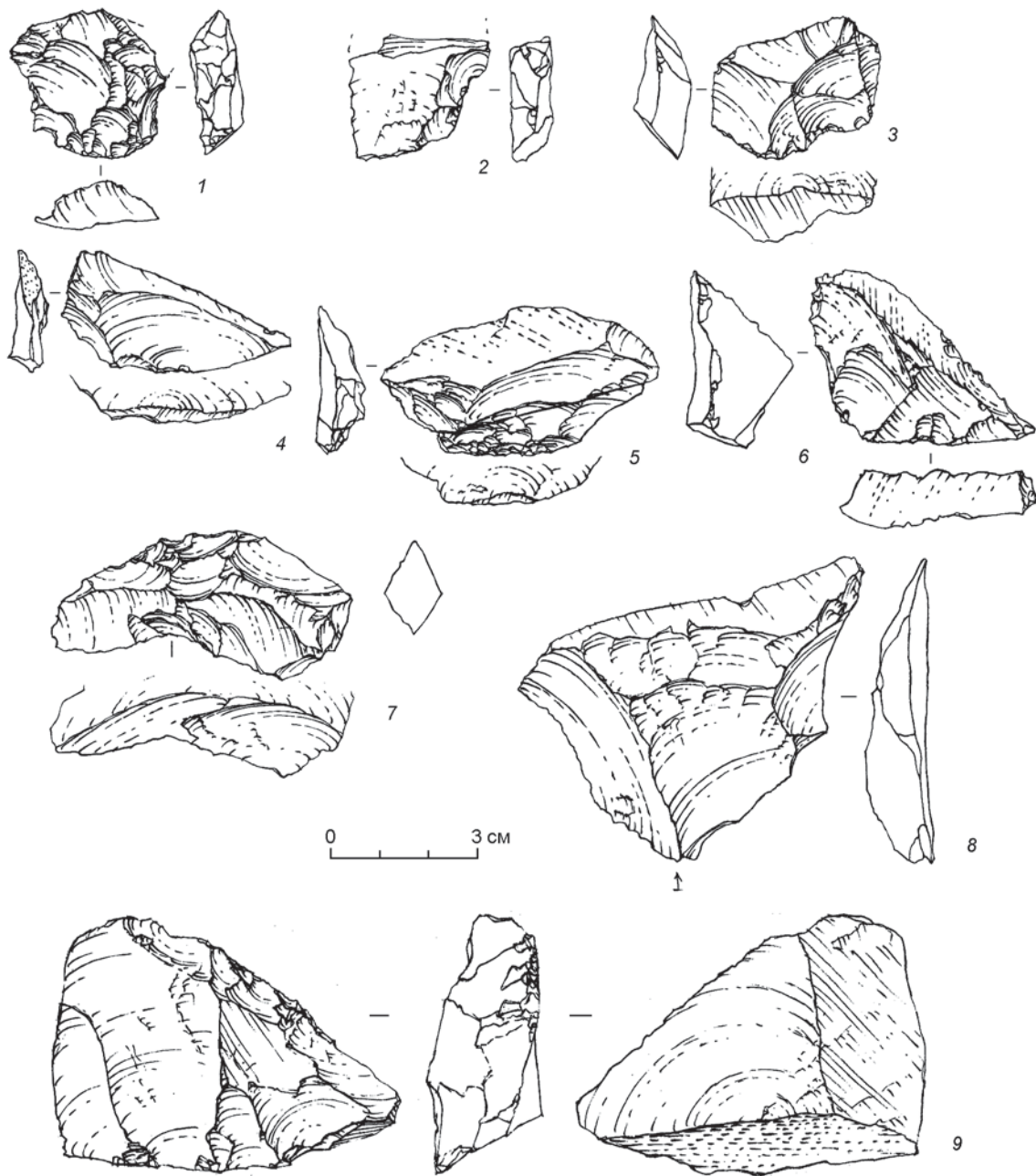


Рис. 2. Каменные артефакты из слоев 7, 8 пещеры Сельгунгур.

1, 3, 8 – отщепы; 2 – отщеп с ретушью; 4, 6 – краевые сколы с радиальных нуклеусов; 5 – скол утончения бифаса; 7 – скребло сельгунгурского типа; 9 – диагональное скребло.

Состав технических сколов, типы огранок дорсальных поверхностей и соотношение технологических осей и осей длины изделий достаточно убедительно свидетельствуют в пользу утилизации радиальных и ортогональных нуклеусов. Свидетельств реализации удлиненных сколов либо применения техники леваллуа не зафиксировано.

Перечисленные характеристики свидетельствуют о значительном технологическом и типологическом сходстве между индустриями комплексов из слоев 4–6 [Кривошапкин и др., 2016] и 7, 8. Общими чертами являются отщеповой характер

индустрий, преимущественное получение коротких массивных сколов с крупными ударными площадками в рамках радиального и ортогонального расщепления. В обоих комплексах доминируют гладкие остаточные ударные площадки сколов с достаточно редкими случаями снятия карниза. Присутствие скола утончения двухстороннего орудия в нижнем комплексе может косвенно свидетельствовать о возможном изготовлении бифасов. Наличие скребла сельгунгурского типа является ярким маркером, свидетельствующим о несомненном сходстве рассматриваемых ансам-



блей. При этом сколы в верхней части разреза имеют более стандартизированную форму и чаще реализовывались удачно, судя по соотношению типов дистальных окончаний.

До получения новых результатов абсолютного датирования для верхнего комплекса была принята дата  $126 \pm 5$  тыс. л.н. [Vishnyatsky, 1999, p. 110; Кривошапкин и др., 2016]. В стратиграфическом отношении верхний (слои 4–6) и нижний (слои 7, 8) комплексы пещеры Сельунгур разделены стерильной прослойкой мощностью около метра (см. рис. 1), что свидетельствует о большей древности нижнего комплекса. Обнаружение нижнего комплекса артефактов, по своим технико-типологическим характеристикам соответствующих показателям индустрий слоев 4–6, вероятнее всего, подтверждает более раннее время зарождения сельунгурского варианта среднего палеолита в регионе. Проведение абсолютного датирования и новые исследования на объекте смогут ответить на вопрос, чем является нижний комплекс пещеры Сельунгур: ранним проявлением среднего палеолита региона или поздним примером нижнепалеолитических индустрий.

### Благодарности

Полевые работы выполнены за счет гранта Российского научного фонда (проект № 14-50-00036); лабораторное изучение материала проведено в рамках проекта РГНФ № 15-31-01000.

### Список литературы

**Кривошапкин А.И., Виола Б., Чаргынов Т., Крайцарж М., Колобова К.А., Шнайдер С.В., Романенко М.Е.** Исследования среднепалеолитических комплексов пещеры Сельунгур в полевом сезоне 2016 года // Проблемы археологии, этнографии, антропологии Сибири и сопредельных территорий. – Новосибирск: Изд-во ИАЭТ СО РАН, 2016. – Т. XXII. – С. 94–99.

**Viola B., Krivoshapkin A.I.** Sel'ungur – Middle Plistocene Hominins in Central Asia? // Cultural developments in the Eurasian Paleolithic and the origin of anatomically modern humans. – Novosibirsk: IAET SB RAS Publ., 2014. – P. 172–178.

**Vishnyatsky L.B.** The Palaeolithic of Central Asia // J. of World Prehistory. – 1999. – N 13. – P. 69–122.

### References

**Krivoshapkin A.I., Viola B., Charginov T., Kraitsarzh M., Kolobova K.A., Shneider S.V., Romanenko M.E.** Issledovaniya srednepaleoliticheskikh kompleksov peshchery Sel'ungur v polevom sezone 2016 goda/ In *Problems of Archaeology, Ethnography, Anthropology of Siberia and Neighboring Territories*. Novosibirsk: IAET SB RAS Publ. 2016, vol. XXII, pp. 94–99 (in Russ.).

**Viola B., Krivoshapkin A.I.** Sel'ungur – Middle Plistocene Hominins in Central Asia? In *Cultural developments in the Eurasian Paleolithic and the origin of anatomically modern humans*. Novosibirsk: IAET SB RAS Publ., 2014, pp. 172–178.

**Vishnyatsky L.B.** The Palaeolithic of Central Asia. *Journal of World Prehistory*, 1999, No. 13, pp. 69–122.